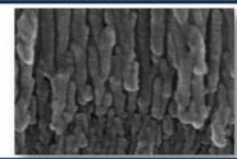


# Исследование диффузии постоянных и конденсирующихся газов через поры нанометрового размера

Берекчиян М.В., Петухов Д.И.

Факультет наук о материалах МГУ им. М.В. Ломоносова  
mikhail.berekchiyan@yandex.ru



## Очистка попутного нефтяного газа

### Способы очистки:

1. Сухие – адсорбция твердыми поглотителями (активированный уголь);
2. Мокрые – обработка жидкими поглотителями;
3. Сверхзвуковое разделение;
4. Конденсация;
5. Мембранное газоразделение

### Механизмы переноса газа через мембрану



## Анодный оксид алюминия

- ✓ возможность контроля параметров структуры в зависимости от условий синтеза
- ✓ низкая извилистость пор и узкое распределение пор по размеру
- ✓ возможность контролировать давление начала конденсации



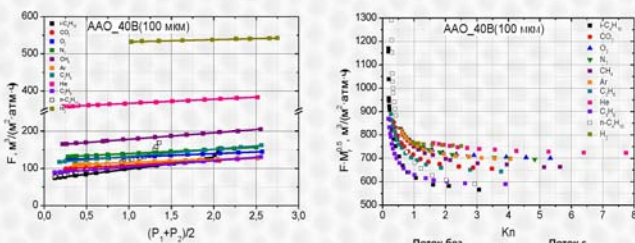
1. Анодирование в растворе кислоты,  $U = 20 - 120 \text{ В}$ ,  $t = 0^\circ\text{C}$
2. Удаление металлической подложки в 0,5М растворе  $\text{CuCl}_2$
3. Контролируемое удаление барьерного слоя (0,5 М  $\text{H}_3\text{PO}_4$ ; 0,2 М  $\text{KCl}$ )

### Механизм капиллярной конденсации

$$\text{Уравнение Кельвина: } \frac{\rho RT}{M} \ln \frac{P}{P_0} = - \frac{2\sigma \cos \theta}{r}$$

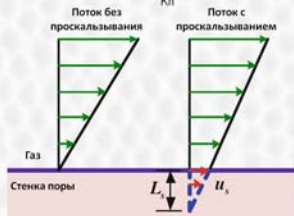
где  $\rho$  – плотность конденсата,  $r$  – радиус капилляра,  $\sigma$  – поверхностное натяжение,  $\theta$  – контактный угол,  $M$  – молярная масса адсорбата,  $P_0$  – давление насыщенного пара над плоской поверхностью

## Газопроницаемость симметричных мембран по постоянным газам

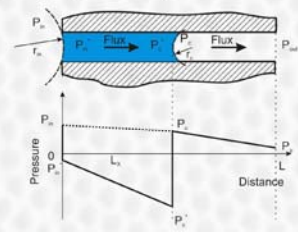
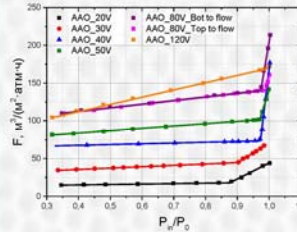


$$K_n = \frac{\lambda}{d_{\text{поре}}} = \frac{2\eta}{d_{\text{поре}}(P_1 + P_2)} \sqrt{\frac{\pi RT}{2M}}$$

$$F = F_{\text{Kn}} \cdot \left(1 + \frac{3\pi}{128 \cdot K_n}\right)$$

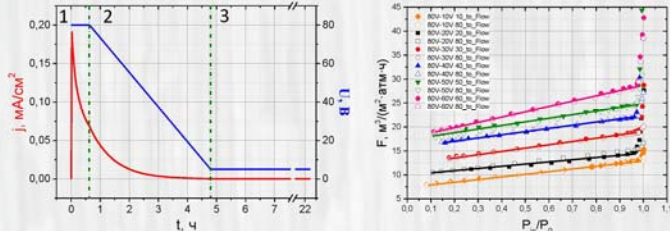


## Газопроницаемость симметричных мембран по конденсирующемуся газу

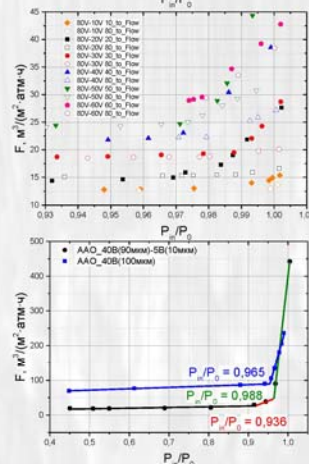
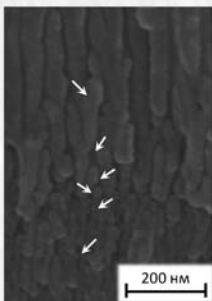


Мембрана	U, В	Диаметр пор, нм			
		Верхняя поверхность (РЭМ)	В объёме поры (ВН)	Нижняя поверхность (РЭМ)	Расчитанные значения
AAo_20nm	20	28 ± 7	22 ± 5	22 ± 6	Из проницаемости 21 Из давления конденсации 13
AAo_40nm	30	45 ± 8	37 ± 9	37 ± 10	41 17
AAo_45nm	40	38 ± 10	42 ± 7	44 ± 7	50 32
AAo_70nm	50	40 ± 12	65 ± 33	67 ± 6	67 53
AAo_90nm	120	89 ± 14	84 ± 36	71 ± 9	87 65

## Синтез и газопроницаемость асимметричных мембран



1. Рост оксида при высоком напряжении
2. Формирование иерархической структуры
3. Равномерный рост при низком напряжении

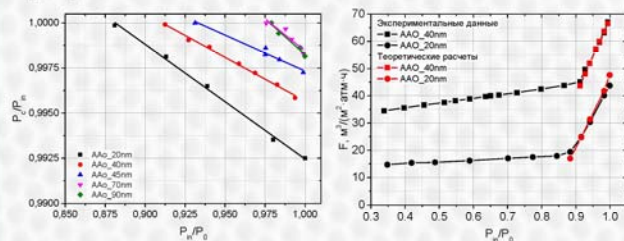


$$F_0 = \frac{\varepsilon d_{\text{поре}}^3}{3RT} \sqrt{\frac{8RT}{\pi M}} \left(1 + \frac{K \cdot (P_{\text{in}} + P_{\text{out}})}{2}\right) \quad F_1 = \frac{\varepsilon \cdot d_{\text{поре}}^3 \cdot \rho}{32\eta M} \left(1 + \frac{2\rho RT}{M \cdot (P_{\text{in}} + P_0)}\right)$$

$$\left\{ \frac{\varepsilon \cdot d_{\text{поре}}^3 \cdot \rho}{32\eta \cdot L_x \cdot M} \left(1 + \frac{2\rho RT}{M \cdot (P_{\text{in}} + P_0)}\right) (P_{\text{in}} - P_0) = \frac{\varepsilon d_{\text{поре}}^3 \cdot (P_0 - P_{\text{out}})}{3RT(L - L_x)} \sqrt{\frac{8RT}{\pi M}} \left(1 + \frac{K \cdot (P_{\text{in}} + P_{\text{out}})}{2}\right) \right.$$

$$\left. P_0 = P_{\text{out}} + \frac{J \cdot 3RT(L - L_x)}{\varepsilon d_{\text{поре}}^3 (1 + K \cdot (P_{\text{in}} + P_{\text{out}})/2)} \sqrt{\frac{\pi M}{8RT}} \right.$$

$P_{\text{in}}$  – давление до мембраны,  $P_{\text{out}}$  – давление после мембраны,  $P_0$  – давление над мембраной со стороны пермеата,  $d_{\text{поре}}$  – диаметр пор,  $L$  – толщина мембраны,  $L_x$  – толщина прослойки жидкой фазы,  $K$  – поправка на вязкий поток,  $\eta$  – вязкость жидкой фазы



$$P_0 = P_{\text{in}} \left(1 - 0.0605 \left(\frac{P_{\text{in}}}{P_0} \exp\left(-\frac{8\sigma M}{\rho d_{\text{поре}} RT}\right)\right)\right)$$

Мембрана	$d_{\text{поре}}$ , нм	$\varepsilon$ , %	$P_{\text{с, мин}}/P_0$	$P_0$ , атм	$R_{\text{с}}$ , нм	$\Delta P_{\text{max}}$ , атм	$L_{\text{с, max}}$ , МКМ
AAo_20nm	21	17,2	0,8777	-29,1	6,1	0,63	52,7
AAo_40nm	41	19,5	0,912	-19,57	8,7	0,297	30
AAo_45nm	51	32	0,973	-3,5	29,3	0,21	42,5
AAo_70nm	67	27,8	0,983	-3,01	32,5	0,13	26,1
AAo_90nm	87	26,7	0,975	-2,23	37,6	0,109	22,7

## Результаты и выводы:

- ✓ Газопроницаемость как симметричных, так и асимметричных мембран по постоянным газам возрастает с увеличением среднего давления, что объясняется вкладом вязкого течения. Однако проницаемость различных газов, нормированная на их молекулярную массу, в пределе  $K_n \rightarrow \infty$  различается, что может быть объяснено реализацией промежуточного режима диффузии «диффузия со скольжением». При этом доля зеркальных соударений молекулы газа со стенкой поры зависит от эффективного столкновительного диаметра молекулы газа;
- ✓ Изучен процесс капиллярной конденсации в мембранах анодного оксида алюминия как с симметричной, так и с асимметричной пористой структурой. На примере мембран с симметричной пористой структурой предложена модель, позволяющая рассчитывать газопроницаемость мембран в режиме капиллярной конденсации газа. На основании предложенной модели сделано предположение о необходимости использования асимметричных мембран с ориентацией мелкопористым слоем к потоку для увеличения газопроницаемости в режиме капиллярной конденсации, что позволило достичь рекордных значений проницаемости по изобутану (до  $500 \text{ м}^3/(\text{м}^2 \cdot \text{атм} \cdot \text{ч})$ ).